

**ВЛИЯНИЕ ТОЛЩИНЫ  
ДИФФУЗИОННО-ТЕМПЕРАТУРНОГО СЛОЯ  
НА ВЫСОТУ ПЛАМЕНИ**

B. N. Подымов, I. F. Чучалин

(Казань)

На рис. 1 показан снимок диффузионного факела пропана, полученный с помощью прибора ИАБ-451 таким образом, что одновременно видно пламя и слой продуктов сгорания. Этот слой (его целесообразно назвать диффузионно-температурным слоем) является пограничным для пламени. Изменение толщины и формы диффузионно-температурного слоя влечет за собой изменение режима кислородного питания пламени, а следовательно, высоты и формы пламени.

Задача определения высоты и формы пламени в зависимости от различных факторов является основной в исследованиях диффузионного факела. Теоретическая разработка этой задачи пока не завершена ввиду сложности процессов, протекающих в диффузионном факеле. Предложены теории лишь некоторых частных случаев. Для закрытого диффузионного факела форму и высоту пламени нашли С. Бурке и Т. Шуман [1]; форма и высота открытого пламени диффузионно горящих жидкостей найдена В. И. Блиновым [2]. Другие авторы получили полуэмпирические формулы для оценки только высоты пламени [3, 4].

Поскольку В. И. Блинов рассматривал горение в ничем не ограниченном пространстве, представляет интерес проверить пригодность полученного им уравнения меридианной линии пламени для открытого диффузионного факела газов. На рис. 2 сплошной линией очерчен взятый из работы [2] безразмерный профиль пламени и нанесены экспериментальные точки, полученные с пламенем пропана на горелке диаметром 2 см. Видно, что точки удовлетворительно расположились около теоретической кривой. Подробная проверка обнаруживает, что совпадение имеет место, если изменение диаметра горелки не выходит за пределы от 0,8 до 2,5 см.

Совпадение теоретического и экспериментального профилей пламени свидетельствует о том, что в указанных пределах изменения диаметра горелки предпосылки В. И. Блинова годятся и для открытого диффузионного факела газов.

До сих пор речь шла о стационарных диффузионных пламенах. В случае нестационарных диффузионных пламен высота и форма пла-

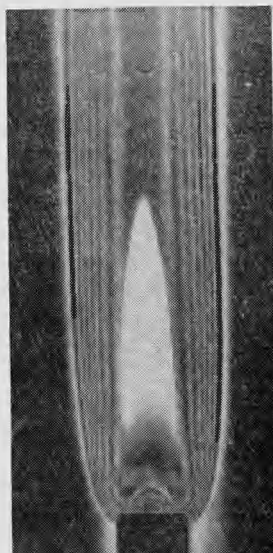


Рис. 1.

мени зависит еще и от времени. Экспериментальные данные свидетельствуют, что в общем случае эта зависимость может быть довольно сложной [5].

В настоящей работе сделана попытка связать изменение высоты пламени с изменением толщины диффузионно-температурного слоя в предположении, что последняя меняется незначительно и по синусоидальному закону.

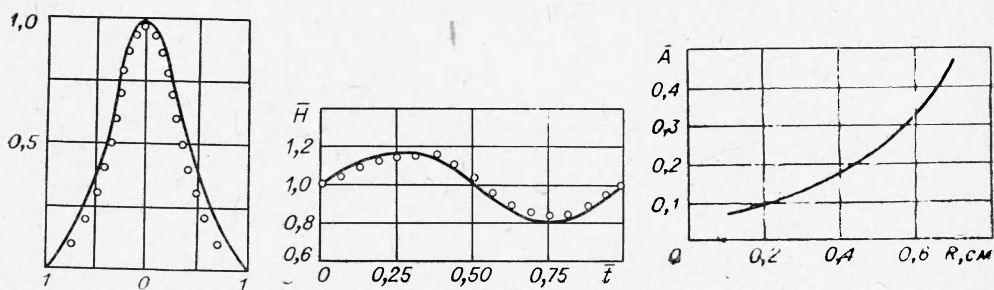


Рис. 2.

Рис. 3.

Рис. 4.

дальному закону. Выбор такого закона изменения толщины диффузионно-температурного слоя находится в согласии с работами [6, 7], в которых доказывается, что колебательный режим горения диффузионного факела обусловливается гидродинамической неустойчивостью струи продуктов сгорания. (Вообще, толщина слоя продуктов сгорания может меняться и вследствие других причин. В данном случае это не имеет принципиального значения.)

Задача решается в цилиндрических координатах  $(z, \xi, \varphi)$ , с началом в центре среза горелки и осью  $z$ , направленной по оси пламени. Пусть  $R$  — радиус горелки,  $r$  — расстояние от оси до поверхности пламени,  $\rho$  и  $u$  — плотность и скорость газа,  $a$  — количество кислорода, необходимого для полного сгорания 1 г газа,  $D$  — коэффициент диффузии кислорода.

Рассуждениями, аналогичными рассуждениям В. И. Блинова [2], приходим к дифференциальному уравнению

$$-D \left( \frac{dc}{d\xi} \right)_{\xi=r} r d\varphi dz = u \rho a r d\varphi dr, \quad (1)$$

где  $\frac{dc}{d\xi}$  определяется из уравнения

$$D \left( \frac{d^2 c}{d\xi^2} + \frac{1}{\xi} \frac{dc}{d\xi} \right) = 0, \quad (2)$$

но при граничных условиях:

$$1) \xi = A + a \sin \frac{2\pi}{T} t, c = c_0; \quad 2) \xi = r, c = 0.$$

Здесь  $A$  — толщина диффузионно-температурного слоя стационарного пламени;  $a$  — амплитуда возмущения толщины диффузионно-температурного слоя;  $c_0$  — концентрация кислорода в атмосфере,  $T$  — период возмущения;  $t$  — время.

Находя из уравнения (2) производную

$$\frac{dc}{d\xi} = \frac{c_0}{\ln \left( A + a \sin \frac{2\pi}{T} t \right) - \ln r} \cdot \frac{1}{\xi} \quad (3)$$

и подставляя ее в уравнение (1), будем иметь

$$-\frac{D c_0}{u \rho \alpha} dz = r \left[ \ln \left( A + a \sin \frac{2\pi}{T} t \right) - \ln r \right] dr. \quad (4)$$

Проинтегрировав последнее равенство, получим

$$-\frac{D c_0}{u \rho \alpha} z = \frac{r^2}{2} \ln \left( A + a \sin \frac{2\pi}{T} t \right) - \frac{r^2}{2} \ln r + \frac{r^2}{4} + C.$$

Постоянная  $C$  определяется из условия, что  $z=0$  при  $r=R$ . Определив постоянную, найдем

$$\begin{aligned} -\frac{D c_0}{u \rho \alpha} z &= \frac{r^2}{2} \ln \frac{A + a \sin \frac{2\pi}{T} t}{r} + \frac{r^2}{4} - \\ &- \frac{R^2}{2} \left( \ln \frac{A + a \sin \frac{2\pi}{T} t}{R} + 0,5 \right). \end{aligned}$$

Из этого равенства высота пламени  $H$  получается требованием  $z=H$  при  $r=0$ :

$$H = \frac{R^2 u \rho \alpha}{2 D c_0} \left( \ln \frac{A + a \sin \frac{2\pi}{T} t}{R} + 0,5 \right). \quad (5)$$

Относя мгновенную высоту пламени к высоте в момент  $t=0$ , получим безразмерную высоту пламени  $\bar{H}$ :

$$\bar{H} = \frac{\ln \frac{A + a \sin \frac{2\pi}{T} t}{R} + 0,5}{\ln \frac{A}{R} + 0,5}. \quad (6)$$

Закон изменения высоты пламени со временем для случая  $A=0,6 \text{ см}$ ,  $a=0,1 \text{ см}$  и  $R=0,4 \text{ см}$  показан на рис. 3. (Безразмерное время  $\bar{t}=t/T$ .) Там же нанесены экспериментальные точки. При небольших расходах горючего колебания высоты пламени почти синусоидальны [5] и экспериментальные кривые весьма похожи на теоретическую.

Из формулы (6) следует, что безразмерная амплитуда колебаний высоты пламени тем больше, чем больше амплитуда возмущения толщины диффузионно-температурного слоя. С увеличением радиуса горелки амплитуда колебаний тоже возрастает. Вид кривой показан на рис. 4 для  $A=0,6 \text{ см}$ ,  $a=0,1 \text{ см}$ . Качественные наблюдения над факелом пропана согласуются с последним выводом, но количественную проверку осуществить трудно, так как в эксперименте не всегда реализуются условия, допускающие применение формулы (6).

Уже незначительное увеличение расхода газа приводит к тому, что колебания пламени становятся нелинейными, разрывными [5] и экспериментальные данные существенно отличаются от теоретических предсказаний. (Для пропанового факела на горелке диаметром 0,8 см несоответствие начинается с чисел Рейнольдса, больших 25.) Это рас-

хождение объясняется тем, что при выводе уравнения (6) подразумевали лишь молекулярную диффузию. На самом деле, с увеличением расхода газа, очень скоро на первый план выступают процессы, связанные с подачей кислорода локальными струями и вихрями. Механизм кислородного питания факела, следовательно, меняется, и прежние закономерности перестают быть справедливыми.

### ВЫВОДЫ

1. Периодическое изменение толщины диффузионно-температурного слоя вызывает периодические колебания высоты пламени.
2. Механизм синусоидальных или близких к ним колебаний высоты пламени может быть, по крайней мере качественно, объяснен на основе только молекулярной радиальной диффузии кислорода.

*Поступила в редакцию  
20/V 1967*

### ЛИТЕРАТУРА

1. S. P. Burke and T. S. W. Schumann. Ind. Eng. Chem., 1928, **20**, 998—1009.
2. В. И. Блинов, Г. Н. Худяков. Диффузионное горение жидкостей. М., Изд-во АН СССР, 1961.
3. Г. Хоттель, В. Гаусснер. Сб. «Вопросы горения», ч. 1., М., ИЛ, 1953.
4. К. Уол, Г. Гээли, Н. Кэп. ВРТ, 1952, 1.
5. В. Н. Подымов, И. Ф. Чучалин. Шестая республиканская межвузовская конференция по вопросам испарения, горения и газовой динамики дисперсных систем. Тез. докл., Изд. Киевского университета, 1966.
6. Kimura Itsuro. 10-th Symposium (International) Combustion, Cambridge, 1964.
7. Toong Tau-Yi, Salant Richard F., Stopford John M., Anderson Griffin Y. 10-th Symposium (International) Combustion, Cambridge, 1964.